

14,15

## Особенности релаксации тензора напряжения в микроскопическом объеме нематической фазы под действием сильного электрического поля

© А.В. Захаров

Институт проблем машиноведения РАН,  
Санкт-Петербург, Россия

E-mail: alexandre.zakharov@yahoo.ca

(Поступила в Редакцию 30 мая 2017 г.)

Предложено численное исследование новых режимов переориентации поля директора  $\hat{\mathbf{n}}$ , скорости  $\mathbf{v}$  и компонент тензора напряжения  $\sigma_{ij}$  ( $ij = x, y, z$ ) нематического жидкого кристалла (ЖК), инкапсулированного в прямоугольный канал, под действием сильного электрического поля  $\mathbf{E}$ , направленного под углом  $\alpha$  ( $\sim \frac{\pi}{2}$ ) к горизонтальным ограничивающим поверхностям ЖК-канала. Численные расчеты, выполненные в рамках нелинейного обобщения классической теории Эриксона–Лесли, показали, что при определенных соотношениях моментов и импульсов, действующих на единицу объема ЖК-фазы, и в случае  $E \gg E_{th}$ , в процессе переориентации  $\hat{\mathbf{n}}$  могут возникнуть переходные периодические структуры, если соответствующая мода искажения обладает наибо́льшим откликом и, таким образом, подавляет все остальные моды. Возникающие при этом вращающиеся домены способствуют уменьшению скорости диссипации энергии и тем самым создают более выгодные, по сравнению с однородным поворотом, режимы переориентации поля директора.

Работа выполнена при финансовой поддержке РФФИ (грант № 16-02-00041а).

DOI: 10.21883/FTT.2018.02.45400.177

### 1. Введение

В последнее время все чаще методы микро- и нанофлюидики находят применение при исследовании процессов транспортировки и сортировки нанолитровых объемов жидкокристаллических (ЖК) материалов в разветвленных каналах и капиллярах (lab-on-chip-system) под действием внешнего электрического поля (электрокинетика) [1,2]. С другой стороны, ЖК-материалы используются при создании новых семейств сенсоров, термоиндикаторов и детекторов давления [3,4]. На формирование течений в этих микро- и наноразмерных каналах и капиллярах оказывают сильное влияние внешние силы, такие как электрические поля и механические воздействия, а также геометрия ЖК-каналов и характер приповерхностной ориентации поля директора. В связи с этим всестороннее исследование динамических режимов переориентации поля директора и релаксации компонент тензора напряжения в микроскопических объемах ЖК-фаз под действием сильного электрического поля ( $\geq 1 \text{ V}/\mu\text{m}$ ) позволит понять и, как следствие, улучшить динамические характеристики сенсоров, терморегуляторов и датчиков, применяемых в медицинской диагностике и биологических лабораториях на чипах.

Одним из менее затратных, и в тоже время кратчайших, путей к пониманию особенностей динамической переориентации поля директора  $\hat{\mathbf{n}}(\mathbf{r}, t)$  в ЖК-фазе, инкапсулированной в микро- и наноразмерные объемы, под действием сильного электрического поля  $\mathbf{E}$ , является теоретическое моделирование гидродинамических и релаксационных процессов, возникающих в этих молеку-

лярных системах. В случае отсутствия электрического поля ( $E = 0$ ) ориентация ЖК-фазы, помещенной в канал, определяется граничной ориентацией (гомеотропной, планарной и наклонной) молекул ЖК-материала. В момент включения электрического поля  $\mathbf{E}$ , направленного, например, практически перпендикулярно планарно ориентированному нематик, молекулы, образующие ЖК-фазу, начинают переориентацию вдоль  $\mathbf{E}$  (рис. 1). Это приводит к возникновению конкуренции с приповерхностными силами, которые транслируются в объем

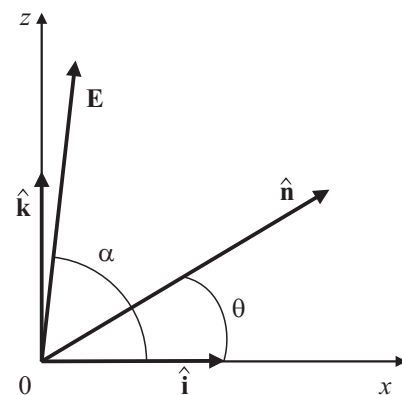


Рис. 1. Координатная система. Орт  $\hat{\mathbf{i}}$  направлен параллельно, а орт  $\hat{\mathbf{k}}$  перпендикулярно к нижней ограничивающей поверхности ЖК-канала. Вектор электрического поля  $\mathbf{E}$  и вектор поля директора  $\hat{\mathbf{n}}$  направлены под углом  $\alpha$  и  $\theta$  к нижней горизонтальной ограничивающей поверхности ЖК-канала соответственно.

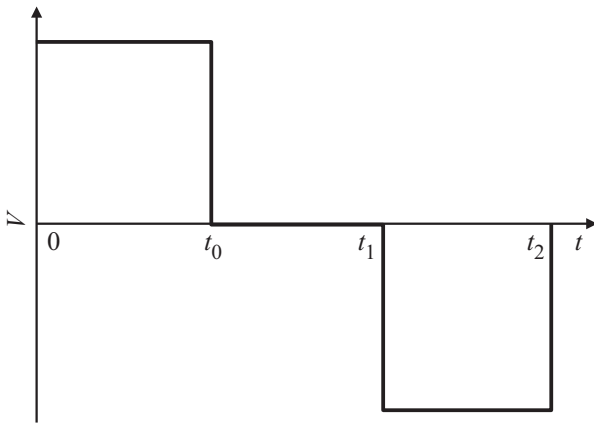


Рис. 2. Три режима включения электрического поля  $E$ .

ЖК-фазы посредством ориентационной упругости, присутствующей всем ЖК-материалам. При значениях величины поля  $E > E_{th}$  молекулы ЖК-фазы однородно разворачиваются в сторону вектора  $E$  [5]. Здесь  $E_{th}$  некоторое пороговое значение внешнего электрического поля, при достижении которого начинается переориентация поля директора (переход Фредерикса [5]). Эта величина зависит от конкретного ЖК-материала и его размеров. В случае  $E \gg E_{th}$  ЖК-система может быть выведена из равновесного состояния и любые малые отклонения начальной ориентации поля директора, вызванные, например, термофлуктуациями, могут начать экспоненциально расти со своими коэффициентами роста, которые обратно пропорциональны некоторой эффективной вращательной вязкости ЖК-материала [6]. При классическом переходе Фредерикса однородный поворот молекул ЖК-фазы происходит в плоскости, образованной полем директора  $\hat{n}$  и полем  $E$ , и характеризуется сравнительно большим эффективным коэффициентом вращательной вязкости и отсутствием течения ЖК-фазы. С другой стороны, в случае  $E \gg E_{th}$  в процессе переориентации поля директора  $\hat{n}$  могут возникнуть переходные квазипериодические структуры, если соответствующая мода искажения обладает наивысшим откликом и, таким образом, подавляет все остальные моды, в том числе и однородные [7]. При квазипериодическом искажении ЖК-фазы появляется сдвиговая вязкость, уменьшающая общую эффективную вращательную вязкость, связанную с переориентацией поля директора. Возникающие при этом вращающиеся домены способствуют уменьшению эффективной вязкости, характеризующей скорость диссипации энергии, и тем самым создают более выгодные, по сравнению с однородным поворотом, режимы переориентации поля директора.

Исследование этих новых состояний будет проведено в рамках нелинейного обобщения классической теории Эриксона–Лесли [8,9] с учетом балансов массы, импульсов и моментов, действующих на единицу объема ЖК-материала. Численные исследования характера переориентации поля директора и формирование ре-

лаксационных режимов компонент тензора напряжения в микроразмерных ЖК-каналах, образованных молекулами 4-*n*-пентил-4'-цианобифенила (5ЦБ), будут проведены для трех динамических режимов. Первым будет изучен режим (режим I) включения электрического поля  $E > 0$ , направленного вдоль оси  $z$ , в течение времени  $0 < t < t_0$  (см. рис. 2), т.е. практически перпендикулярно планарно ориентированному нематиту. Вторым будет изучен режим (режим II), когда электрическое поле ( $E = 0$ ) выключено в течение времени  $t_0 \leq t < t_1$ . И наконец, третьим будет изучен режим (режим III) включения электрического поля  $E < 0$  в отрицательном направлении вдоль оси  $z$ , в течение времени  $t_1 \leq t < t_2$  (см. рис. 2).

## 2. Основные уравнения

Рассмотрим длинный прямоугольный ЖК-канал с размерами  $2L$  и  $2d$  ( $L \gg d$ ), ограниченный твердыми горизонтальными и вертикальными поверхностями. Допустим, что директор планарно ориентирован на горизонтальных ограничивающих поверхностях и гомеотропно на вертикальных, причем рассмотрим случай, характеризующийся сильным сцеплением ЖК-молекул со всеми твердыми поверхностями. В этом случае система координат отсчитывается от центра ЖК-канала так, что ось  $X$  и орт  $\hat{i}$  совпадают с направлением директора на нижней горизонтальной поверхности ( $\hat{i} \parallel \hat{n}_{z=-d}$ ), в то время как ось  $Z$  и орт  $\hat{k}$  направлены ортогонально ( $\hat{k} \perp \hat{n}_{z=-d}$ ), а орт  $\hat{j} = \hat{k} \times \hat{i}$  (см. рис. 1). Таким образом, в начальный момент времени мы имеем дело с планарно и однородно ориентированным ЖК-образцом, образованным молекулами 5ЦБ, притом, что вектор электрического поля  $E = E_x \hat{i} + E_z \hat{k} = E(z) \cos \alpha \hat{i} + E(z) \sin \alpha \hat{k}$  направлен под углом  $\alpha$  ( $\sim \frac{\pi}{2}$ ) к горизонтальным поверхностям ЖК-канала. После включения электрического поля  $E$ , направленного практически ортогонально к планарно и однородно ориентированному ЖК-каналу, в ЖК-фазе начинается переориентация полярных молекул и, как следствие, переориентация  $\hat{n}(\mathbf{r}, t)$  вдоль направления вектора  $E$ . Этот процесс переориентации сопровождается формированием поля скорости  $\mathbf{v}(\mathbf{r}, t)$  в объеме ЖК-фазы.

Будем предполагать, что переориентация поля директора  $\hat{n} = n_x \hat{i} + n_z \hat{k} = \cos \theta(x, z, t) \hat{i} + \sin \theta(x, z, t) \hat{k}$  под действием электрического поля  $E$  осуществляется в плоскости  $XOZ$ . Здесь  $\theta$  — угол, образованный директором  $\hat{n}$  и ортом  $\hat{i}$  (см. рис. 1). Таким образом, формирование гидродинамического течения  $\mathbf{v}(\mathbf{r}, t)$ , обусловленного переориентацией поля директора  $\hat{n}$ , под действием сильного электрического поля  $E$  может быть описано в рамках нелинейного обобщения классической теории Эриксона–Лесли [8,9], которое учитывает баланс массы, импульсов и угловых моментов, действующих на единицу ЖК-фазы, а также закон сохранения зарядов. Принимая во внимание микроскопические размеры ЖК-канала, мы можем предположить, что плотность

ЖК-системы постоянна, и мы имеем дело с несжимаемой жидкостью. Условие несжимаемости ЖК-материала  $\nabla \cdot \mathbf{v} = 0$ , или  $u_x + w_z = 0$ , выполняется за счет введения безразмерной функции тока  $\bar{\psi} = \frac{4\gamma_1}{\epsilon_0\epsilon_a} \frac{1}{U^2} \psi$ , где безразмерные компоненты вектора скорости  $\mathbf{v} = u\hat{i} + w\hat{k}$  выражены через  $\psi$  как  $u = \frac{\partial\psi}{\partial z} = \psi_{,z}$  и  $w = -\frac{\partial\psi}{\partial x} = -\psi_{,x}$  соответственно. Здесь и далее мы используем безразмерные пространственные переменные  $\bar{x} = x/d$  и  $\bar{z} = z/d$ , а также безразмерное время  $\tau = \frac{\epsilon_0\epsilon_a}{\gamma_1^2} \left(\frac{U}{2d}\right)^2$ , причем в дальнейшем верхняя черта над пространственными переменными и функцией тока будет опущена,  $\epsilon_0$  — диэлектрическая проницаемость вакуума,  $\epsilon_a$  — диэлектрическая анизотропия ЖК-системы,  $\gamma_1$  и  $\gamma_2$  — коэффициенты вращательной вязкости, а  $U = 2Ed$  — величина напряжения. Баланс моментов, действующих на единицу объема ЖК-фазы, в безразмерном виде может быть записан как [7,10]

$$\begin{aligned} \theta_{,\tau} = & \left[ \Delta_1 \theta_{,xx} + \Delta_2 \theta_{,zz} + \Delta_3 (-2\theta_{,xz} - \theta_{,x}^2 + \theta_{,z}^2) \right. \\ & \left. + \Delta_4 \theta_{,x} \theta_{,z} \right] + \frac{1}{2} \bar{E}^2(z) \sin 2(\alpha - \theta) + \frac{1}{2} (\psi_{,xx} + \psi_{,zz}) \\ & - \psi_{,z} \theta_{,z} + \psi_{,x} \theta_{,x} + \gamma \left[ \sin 2\theta \psi_{,xz} + \frac{1}{2} (\psi_{,xx} - \psi_{,zz}) \right], \end{aligned} \quad (1)$$

где  $\Delta_1 = \sin^2 \theta + K_{31} \cos^2 \theta$ ,  $\Delta_2 = \cos^2 \theta + K_{31} \sin^2 \theta$ ,  $\Delta_3 = \frac{(1-K_{31})}{2} \sin 2\theta$ ,  $\Delta_4 = (K_{31} - 1) \cos 2\theta$ ,  $\gamma = \gamma_2/\gamma_1$ ,  $K_{31} = K_3/K_1$ , а  $K_1$  и  $K_3$  — коэффициенты упругости, соответствующие изгибным и продольным деформациям. Безразмерное уравнение Навье–Стокса, записанное с помощью функции тока  $\psi$ , имеет вид [10]

$$\delta_2 [(\Delta\psi)_{,\tau} + \psi_{,z} (\Delta\psi)_{,x} - \psi_{,x} (\Delta\psi)_{,z}] = \tilde{\mathcal{L}}\psi + \mathcal{F}, \quad (2)$$

где  $\Delta\psi = \psi_{,xx} + \psi_{,zz}$ , а оба оператора  $\tilde{\mathcal{L}}$  и  $\mathcal{F}$  приведены в Приложении. Здесь

$$\delta_1 = \frac{4K_1}{\epsilon_0\epsilon_a U^2}, \quad \delta_2 = \frac{\rho\epsilon_0\epsilon_a}{4\gamma_1^2} U^2$$

— два параметра ЖК-системы, а функция

$$\bar{E}(z) = \frac{2d}{U} \sin \alpha E(z)$$

описывает безразмерное электрическое поле. В свою очередь, безразмерное электрическое поле удовлетворяет основному уравнению электростатики для диэлектриков

$$\frac{\partial}{\partial z} \left[ \left( \frac{\epsilon_{\perp}}{\epsilon_a} + \sin \theta \right) \bar{E}(z) \right] = 0, \quad \int_{-1}^1 \bar{E}(z) dz = 1, \quad (3)$$

где  $\epsilon_{\perp}$  — величина диэлектрической проницаемости ЖК-материала в направлении, перпендикулярном полю директора  $\hat{n}$ .

Мы будем рассматривать ЖК-канал с размерами  $L/d = 10$ , помещенный между двумя электродами таким образом, что вектор  $\mathbf{E}$  направлен под углом  $\alpha$  к орту  $\hat{i}$ . Будем изучать случай жесткого сцепления, когда граничные условия для угла  $\theta$  могут быть записаны в виде

$$\theta_{-10 < x < 10, z = \pm 1} = \theta_{x = \pm 10, -1 < z < 1} = 0. \quad (4)$$

Поле скорости  $\mathbf{v}$  подчиняется условию прилипания на твердых ограничивающих поверхностях ЖК-канала и может быть записано с помощью безразмерной функции тока как

$$\begin{aligned} (\psi_{,z})_{-10 < x < 10, z = \pm 1} &= (\psi_{,z})_{x = \pm 10, -1 < z < 1} = 0, \\ (\psi_{,x})_{-10 < x < 10, z = \pm 1} &= (\psi_{,x})_{x = \pm 10, -1 < z < 1} = 0. \end{aligned} \quad (5)$$

Уравнения (1)–(3) необходимо дополнить начальными условиями как для поля директора, так и для поля скорости. Начальное условие для угла  $\theta$  мы выберем в виде

$$\theta(x, z, 0) = \theta_0 \cos \theta(q_z z) \cos \theta(q_x x), \quad (6)$$

где  $\theta_0$  — амплитуда, а  $q_x$  и  $q_z$  — волновые числа соответствующей Фурье-моды. В нашем случае волновые числа  $q_x$  и  $q_z$  соответствующей Фурье-моды имеют вид [7]

$$\begin{aligned} q_x &= \frac{\pi}{20} (2k + 1), \quad k = 0, 1, 2, \dots, \\ q_z &= \frac{\pi}{20} (2l + 1), \quad l = 0, 1, 2, \dots \end{aligned} \quad (7)$$

В свою очередь, начальное условие для скорости  $v(x, z, 0) = 0$ , записанное с помощью функции тока, принимает вид

$$\psi(x, z, 0) = 0. \quad (8)$$

Следует отметить, что в процессе переориентации поля директора под действием сильного электрического поля баланс импульсов и угловых моментов, действующих на единицу ЖК-объема, разворачивает поле директора к его равновесному распределению  $\hat{n}_{eq}$  по всему объему ЖК-фазы, которое описывается углом  $\theta_{eq}(x, z)$ . Время, необходимое для переориентации поля директора в положение  $\theta_{eq}(x, z)$ , есть время релаксации  $\tau_R$  системы. Его величина зависит от величины электрического поля  $\bar{E}$  и углов  $\alpha$  и  $\theta_0$ . В свою очередь, безразмерные волновые числа  $q_x$  и  $q_z$  определяются из условия минимума полной энергии  $W = W_{\text{elast}} + W_{\text{el}}$ , где

$$\begin{aligned} \frac{2}{\delta_1} W_{\text{elast}} &= \int dx \int dz \left[ ((\theta_{eq})_{,x}^2 + (\theta_{eq})_{,z}^2) \right. \\ &\quad \left. \times (\sin^2 \theta_{eq} + K_{31} \cos^2 \theta_{eq}) \right] \\ &\quad + \int dx \int dz (K_{31} - 1) \sin 2\theta_{eq} (\theta_{eq})_{,x} (\theta_{eq})_{,z} \end{aligned} \quad (9)$$

— вклад упругих сил, а

$$W_{el} = - \int dx \int dz E(\theta_{eq}) \cos^2(\theta_{eq} - \alpha) \quad (10)$$

— вклад электрических сил в общую энергию  $W$  соответственно.

Таким образом, система уравнений (1)–(3), (7) и (9), (10), дополненная граничными (4), (5) и начальными условиями (6) и (8), образует самосогласованную систему нелинейных дифференциальных уравнений в частных производных, описывающих эволюцию как поля директора  $\hat{\mathbf{n}}$ , так и поля скорости  $\mathbf{v}$  к их равновесным распределениям по всему объему микрометрового ЖК-канала под действием сильного электрического поля  $\mathbf{E}$ , направленного под углом  $\alpha$  к горизонтальным ограничивающим поверхностям.

Располагая значениями угла  $\theta(x, z, \tau)$  в процессе его релаксации к равновесному распределению по всему ЖК-каналу, мы можем также рассчитать не только эволюцию угловой скорости  $\omega$  поля директора  $\hat{\mathbf{n}}$

$$\omega = \hat{\mathbf{n}} \times \dot{\hat{\mathbf{n}}} = -\dot{\theta}(x, z, \tau) \hat{\mathbf{j}} = -\omega(x, z, \tau) \hat{\mathbf{j}}, \quad (11)$$

но и эволюцию компонент тензора напряжения (ТН)

$$\begin{aligned} \sigma_{xx} &= \frac{1}{4} (E^2 - \mathcal{A}) \sin 2\theta, \\ \sigma_{zz} &= \sigma_{xx} + \frac{1}{2} \mathcal{B} \sin 2\theta + \left( \frac{\epsilon_{\perp}}{\epsilon_a} + \sin^2 \theta \right) E^2, \\ \sigma_{xz} &= \frac{1}{4} (-E^2 + \mathcal{A}) \sin 2\theta, \\ \sigma_{zx} &= \frac{1}{4} (E^2 + \mathcal{A}) \sin 2\theta, \end{aligned} \quad (12)$$

где  $\mathcal{A} = \frac{\gamma_2}{\gamma_1} \cos 2\theta E^2$  и  $\mathcal{B} = \frac{\gamma_2}{\gamma_1} \sin 2\theta E^2$  — безразмерные функции. В нашем случае безразмерные компоненты ТН принимают вид

$$\sigma_{ij} = \mathcal{P} \delta_{ij} + \sigma_{ij}^{el} + \sigma_{ij}^{vis} + \delta_1 \sigma_{ij}^{elast},$$

где  $\mathcal{P}$  — гидростатическое давление в ЖК-канале, а  $\sigma_{ij}^{el}$ ,  $\sigma_{ij}^{vis}$  и  $\sigma_{ij}^{elast}$  — безразмерные компоненты ТН, соответствующие электрическим, вязким и упругим силам соответственно.

Для случая нематика, образованного молекулами 5ЦБ, при температуре 300 К и плотности  $10^3 \text{ kg/m}^3$ , а также величине напряжения в  $U = 200 \text{ V}$ , приложенного поперек ЖК-канала толщиной в  $200 \mu\text{m}$ , значения параметров, которые входят в вышеописанные уравнения, равны:  $\delta_1 = 8.6 \cdot 10^{-6}$ ,  $\delta_2 = 0.19$ ,  $\gamma = -1.1$  и  $K_{31} = 1.17$ . Следует отметить, что величина порогового напряжения в нашем случае равна  $E_{th} \sim 1.05 \cdot 10^4 \text{ V/m}$ , так что  $E \sim 100E_{th}$ , а толщина и величина напряжения, приложенного поперек ЖК-канала, соответствовали данным, использованным при исследовании эволюции ЯМР-спектров в ЖК-ячейках, образованных молекулами дейтерированного 4-*n*-пентил-4'-цианофенила [6].

Принимая во внимание тот факт, что  $\delta_1 \ll 1$ , упругим вкладом в ТН можно пренебречь, в то время как вязкий вклад в ТН  $\sigma_{ij}^{vis}$  может быть переписан в виде

$$\begin{aligned} \sigma_{xx}^{vis} &= -\frac{1}{4} \mathcal{B} \sin 2\theta, \\ \sigma_{xz}^{vis} &= \frac{1}{4} (-E^2 + \mathcal{A}) \sin 2\theta, \\ \sigma_{zx}^{vis} &= \frac{1}{4} (E^2 + \mathcal{A}) \sin 2\theta, \end{aligned}$$

и

$$\sigma_{zz}^{vis} = -\sigma_{xx}^{vis}.$$

В нашем случае, когда электрическое поле  $\mathbf{E}$  приложено поперек ЖК-канала, вклад электрических сил в общий ТН  $\sigma_{ij}^{el} = \frac{1}{2} (E_i D_j + D_i E_j)$  имеет только одну компоненту

$$\sigma_{zz}^{el} = \left( \frac{\epsilon_{\perp}}{\epsilon_a} + \sin^2 \theta \right) E^2,$$

где  $\mathbf{D}$  — вектор электрической индукции. С другой стороны, в нашем случае гидродинамическое давление имеет вид

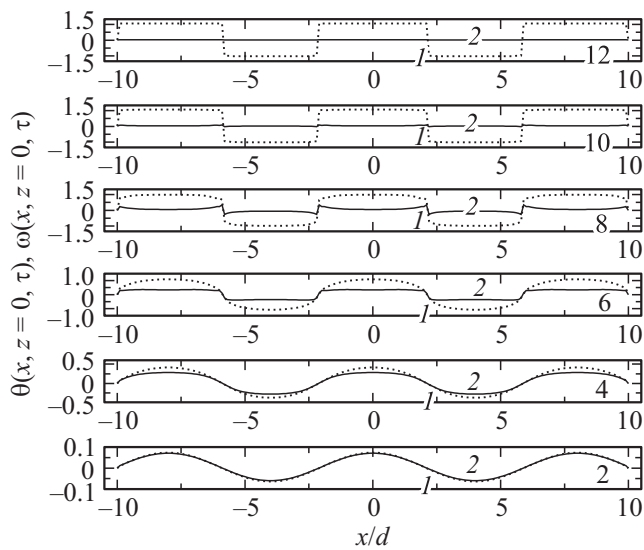
$$\mathcal{P} = \frac{1}{4} (\mathcal{B} - \mathcal{A} + E^2) \sin 2\theta,$$

поскольку оно удовлетворяет уравнению

$$\sigma_{xx,x} + \sigma_{xz,x} + \mathcal{P}_{,x} = 0.$$

### 3. Эволюция поля директора, скорости и компонент ТН в ЖК-канале под действием сильного электрического поля

Когда сильное электрическое поле  $\mathbf{E} = E \hat{\mathbf{k}}$  ( $E \sim 100E_{th}$ ) (в положительном смысле) включено в момент времени  $\tau = 0$ , под углом  $\alpha$  ( $\sim \frac{\pi}{2}$ ) к горизонтальным ограничивающим поверхностям ЖК-канала, планарно и однородно ориентированный нематический образец, образованный молекулами 5ЦБ, стремится переориентироваться в направлении вектора  $\mathbf{E}$ . Этот процесс переориентации описывается углом  $\theta(x, z, \tau)$ , а инициируемое разворотом директора  $\hat{\mathbf{n}}$  поле скорости  $\mathbf{v} = u(x, z, \tau) \hat{\mathbf{i}} + w(x, z, \tau) \hat{\mathbf{k}}$  описывается системой нелинейных дифференциальных уравнений в частных производных (1)–(3), (9) и (10), дополненной граничными (4), (5) и начальными (6) и (8) условиями, как для угла  $\theta$ , так и для функции тока  $\psi$ , при том, что значения волновых чисел  $q_x$  и  $q_z$  определяются из условия минимума полной энергии  $W = W_{elast} + W_{el}$ . Для случая нематика, образованного молекулами 5ЦБ, при температуре 300 К и плотности  $10^3 \text{ kg/m}^3$ , величина порогового напряжения равна  $E_{th} \sim 1.05 \cdot 10^4 \text{ V/m}$ , так что  $E \sim 100E_{th}$ . Наш предыдущий анализ подобных систем показал, что при определенном балансе упругих, вязких и электрических моментов и импульсов, действующих на единицу объема ЖК-фазы, существует



**Рис. 3.** Эволюция распределения угла  $\theta(x, z = 0, \tau)$  (кривые 1) и угловой скорости  $\omega(x, z = 0, \tau)$  (кривые 2) вдоль оси  $x \in [-10, 10]$  к их равновесным распределениям  $\theta_{eq}(x, z = 0, \tau = \tau_R(\text{in})) = 0$  и  $\omega_{eq}(x, z = 0, \tau = \tau_R(\text{in})) = 0$  соответственно, под действием сильного электрического поля  $\mathbf{E} = E\hat{\mathbf{k}}$  ( $E \sim 1.05 \text{ V}/\mu\text{m}$ ), направленного под углом  $\alpha = 1.57$  ( $\sim 89.96^\circ$ ) к горизонтальным ограничивающим поверхностям ЖК-канала. Промежуточные состояния соответствуют временам  $\tau = 2$  ( $\sim 12 \text{ ms}$ ),  $4$  ( $\sim 24 \text{ ms}$ ),  $6$  ( $\sim 36 \text{ ms}$ ),  $8$  ( $\sim 48 \text{ ms}$ ) и  $12$  ( $\sim 72 \text{ ms}$ ) соответственно.

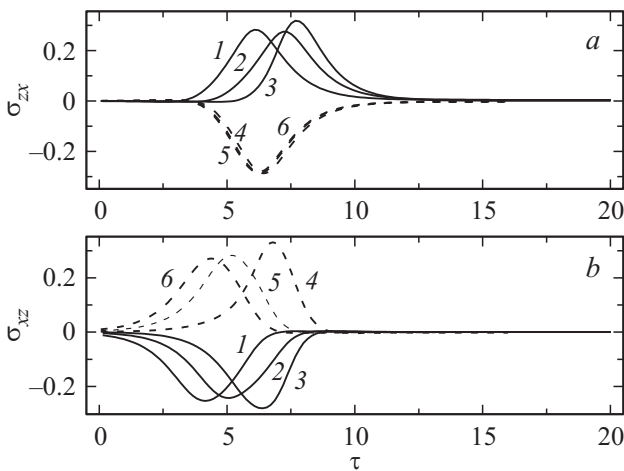
пороговое значение амплитуды угла  $\theta_0^{\text{th}}$ , выше которого характер переориентации поля директора претерпевает как качественное, так и количественное изменение [10]. Так, было показано, что при всех прочих равных условиях, при  $\theta < \theta_0^{\text{th}}$ , поле директора  $\hat{\mathbf{n}}(x, z, \tau)$  разворачивается в направлении вектора  $\mathbf{E}$  ( $|\mathbf{E}| \sim 100E_{\text{th}}$ ) как единое целое, т. е. как монодомен. В то же время при значениях  $\theta \geq \theta_0^{\text{th}}$  переориентация поля директора характеризуется формированием квазипериодических структур по всему объему, занимаемому ЖК-фазой [10]. На рис. 3 (кривые 1, точечные линии) представлены результаты расчета эволюции угла  $\theta(x, z = 0, \tau)$  к его равновесному распределению  $\theta_{eq}(x, z = 0)$  вдоль оси  $x \in [-10, 10]$ , которое достигается спустя  $\tau_R(\text{in}) = 12$  ( $\sim 72 \text{ ms}$ ) единиц безразмерного времени. Эти расчеты были получены для случая жесткого сцепления ЖК-молекул с ограничивающими поверхностями, при значениях углов  $\alpha = 1.57$  ( $\sim 89.96^\circ$ ) и  $\theta_0 = 0.01$  ( $\sim 1.1^\circ$ ), а критерий сходимости итерационной процедуры был выбран равным  $\epsilon = |(\theta_{(m+1)} - \theta_{(m)}) / \theta_{(m)}| \sim 10^{-4}$  и итерационная процедура продолжалась до достижения заданной точности [11]. Промежуточные состояния соответствуют временам  $\tau = 2$  ( $\sim 12 \text{ ms}$ ),  $4$  ( $\sim 24 \text{ ms}$ ),  $6$  ( $\sim 36 \text{ ms}$ ),  $8$  ( $\sim 48 \text{ ms}$ ) и  $12$  ( $\sim 72 \text{ ms}$ ) соответственно. Здесь безразмерное время  $\tau = \frac{\epsilon_0 \epsilon_a}{\gamma_1} \left(\frac{U}{2d}\right)^2 t$  отсчитывалось с момента включения электрического поля. В этом случае равновесное распределение угла  $\theta_{eq}(x, z = 0)$  вдоль

оси  $x \in [-10, 10]$  характеризуется отчетливо выраженной квазипериодической структурой с узлами в точках  $x = \pm 2.175$  и  $\pm 5.83$ . Отметим, что величины волновых чисел  $q_x$  и  $q_z$ , которые обеспечивают минимум энергии  $W_{\text{elast}} + W_{\text{el}}$ , равны  $q_x = 0.785$  и  $q_z = 64.336$ . Эволюция распределения безразмерной угловой скорости  $\omega(x, z = 0, \tau)$  к ее равновесному распределению  $\omega_{eq}(x, z = 0, \tau = \tau_R(\text{in})) = 0$ , вдоль оси  $x \in [-10, 10]$ , представлена на рис. 3 (кривые 2, сплошные линии). Промежуточные состояния соответствуют безразмерным временам  $\tau = 2$  ( $\sim 12 \text{ ms}$ ),  $\tau = 4$  ( $\sim 24 \text{ ms}$ ),  $\tau = 6$  ( $\sim 36 \text{ ms}$ ),  $\tau = 8$  ( $\sim 48 \text{ ms}$ ),  $\tau = 10$  ( $\sim 60 \text{ ms}$ ), и  $\tau = \tau_R(\text{in}) = 12$  ( $\sim 72 \text{ ms}$ ) соответственно. В течение первых 4 единиц безразмерного времени ( $\sim 24 \text{ ms}$ ) распределение угловой скорости  $\omega(x, z = 0, \tau)$  практически следует за распределением угла  $\theta(x, z = 0, \tau)$ . При этом отчетливо видно, как начинают формироваться в ЖК-канале несколько вихрей, причем положения узлов решетки задают границы формируемых вихрей. Так, согласно нашим расчетам, представленным на рис. 3 (кривые 2), отчетливо наблюдаются три вихря ( $-10 < x < -5.83$ ,  $-2.175 < x < 2.175$  и  $5.83 < x < 10$ ), вращающихся по часовой стрелке, и два вихря ( $-5.83 < x < -2.175$  и  $2.175 < x < 5.83$ ), вращающихся против часовой стрелки. Спустя время  $\tau = 10$  ( $\sim 60 \text{ ms}$ ) вращение вихрей практически полностью прекратилось и установилось равновесное распределение поля директора вдоль оси  $x \in [-10, 10]$ , характеризующееся отчетливо выраженной квазипериодической структурой с узлами в точках  $x = \pm 2.175$  и  $\pm 5.83$ .

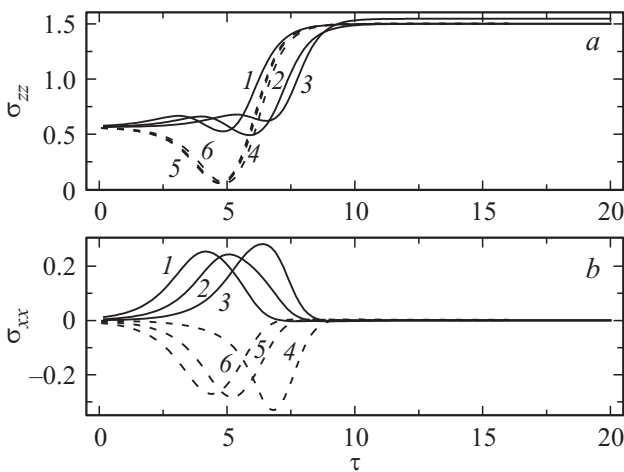
Теперь, располагая распределением угла  $\theta(x, z, \tau)$ , мы можем, используя уравнение (12), рассчитать безразмерные компоненты ТН

$$\sigma_{ij}(x, z, \tau) = \left( \frac{4d^2}{\epsilon_0 \epsilon_a U^2} \right) \bar{\sigma}_{ij}(x, z, \tau),$$

где  $\bar{\sigma}_{ij}(x, z, \tau)$  — размерные значения тензора напряжения. Эволюция безразмерных сдвиговых компонент ТН  $\sigma_{xz}(x, z = 0, \tau)$  и  $\sigma_{zx}(x, z = 0, \tau)$  (рис. 4, *a, b*) и нормальной компоненты  $\sigma_{xx}(x, z = 0, \tau)$  (рис. 5, *b*) к их равновесным значениям на шести точках, отстоящих на расстояниях  $x = 0.5$  (кривая 1),  $1.6$  (кривая 2),  $2.16$  (кривая 3),  $2.18$  (кривая 4),  $2.32$  (кривая 5) и  $3.42$  (кривая 6) от центра ЖК-канала, в течение первых 20 единиц безразмерного времени показаны на рис. 4 и 5. Расчеты свидетельствуют о том, что абсолютные величины двух сдвиговых компонент ТН  $|\sigma_{xz}|$  и  $|\sigma_{zx}|$ , а также нормальной компоненты  $|\sigma_{xx}|$  на начальном этапе эволюции, соответствующем временам  $\tau \sim 4 \div 6$  ( $\sim 24 \div 36 \text{ ms}$ ), достигают максимальных значений  $\sim 0.3$  ( $\sim 6.6 \text{ Pa}$ ), а затем быстро убывают к нулю. В свою очередь, безразмерная нормальная компонента ТН  $\sigma_{zz}(x, z = 0, \tau)$  (рис. 5, *a*) на начальном этапе эволюции, соответствующем временам  $\tau \sim 4 \div 7$  ( $\sim 24 \div 42 \text{ ms}$ ), осциллирует около значения  $\sim 0.5$  ( $\sim 10 \text{ Pa}$ ), для всех вышеуказанных значений расстояния вдоль оси  $x$ , а затем



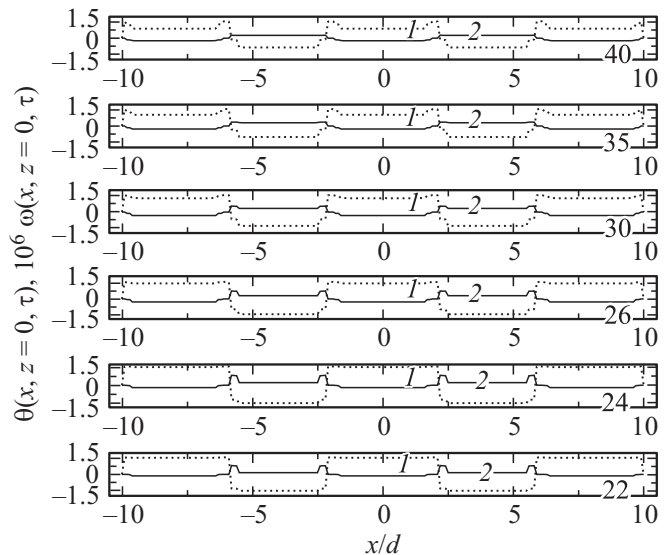
**Рис. 4.** Эволюция сдвиговых компонент ТН  $\sigma_{zx}(x, z = 0, \tau)$  (a) и  $\sigma_{xz}(x, z = 0, \tau)$  (b) в точках  $x = 0.5$  (кривые 1),  $x = 1.6$  (кривые 2),  $x = 2.16$  (кривые 3),  $x = 2.18$  (кривые 4),  $x = 2.32$  (кривые 5) и  $x = 3.42$  (кривые 6) соответственно к их равновесным распределениям  $\sigma_{zx}^{eq}$  и  $\sigma_{xz}^{eq}$  под действием сильного электрического поля  $\mathbf{E} = E\mathbf{k}$  ( $E \sim 1.05 \text{ V}/\mu\text{m}$ ), направленного под углом  $\alpha = 1.57$  ( $\sim 89.96^\circ$ ) к горизонтальным ограничивающим поверхностям ЖК-канала.



**Рис. 5.** То же, что на рис. 4, только для нормальных компонент ТН  $\sigma_{zz}(x, z = 0, \tau)$  (a) и  $\sigma_{xx}(x, z = 0, \tau)$  (b) соответственно.

монотонно возрастает и на конечном этапе эволюции давление растяжения  $\sigma_{zz}$ , обусловленное сильным электрическим полем  $\mathbf{E} = E\mathbf{k}$  ( $E \sim 1.05 \text{ V}/\mu\text{m}$ ), достигает величины  $\sim 1.5$  ( $\sim 33 \text{ Pa}$ ). Следует отметить, что вблизи узла  $x = 2.175$ , в точках  $x = 2.16$  (кривые 3) и  $x = 2.18$  (кривые 4), как сдвиговые компоненты ТН  $\sigma_{xz}(x, z = 0, \tau)$  (рис. 4, b) и  $\sigma_{zx}(x, z = 0, \tau)$  (рис. 4, a), так и нормальная компонента  $\sigma_{xx}(x, z = 0, \tau)$  (рис. 5, b) меняют знак, что свидетельствует о том, что в окрестности узла  $x = 2.175$  возникли разнонаправленные вихревые течения, инициируемые сильным электрическим полем  $E \sim 100E_{th}$ .

Предположим далее, что в момент времени  $\tau = 20$  ( $\sim 0.12 \text{ s}$ ) электрическое поле будет выключено, т.е.  $E = 0$ . В этом случае поле директора  $\hat{\mathbf{n}}(x, z, \tau)$  под действием вязких, упругих и поверхностных сил и моментов, действующих на единицу объема ЖК-фазы, начинает переориентироваться из состояния, характеризующегося углом  $\theta_{eq}(x, z)$ , в состояние, характеризующееся планарной ориентацией ЖК-канала. При этом угол  $\theta(x, z, \tau)$  должен стремиться к нулю. Следует отметить, что время релаксации  $\tau_R(\text{off})$ , в связи с малостью вязких, упругих и поверхностных сил и моментов, по сравнению с электрическими, значительно больше времен  $\tau_R(\text{in})$ . На рис. 6 (кривые 1) представлены результаты расчетов эволюций угла  $\theta(x, z = 0, \tau)$  вдоль оси  $x \in [-10, 10]$  для случая жесткого сцепления ЖК-молекул с ограничивающими поверхностями для следующих, после выключения электрического поля, 20 единиц безразмерного времени. Здесь представлены состояния, соответствующие временам  $\tau = 22$  ( $\sim 0.132 \text{ s}$ ),  $24$  ( $\sim 0.144 \text{ s}$ ),  $26$  ( $\sim 0.156 \text{ s}$ ),  $30$  ( $\sim 0.18 \text{ s}$ ),  $35$  ( $\sim 0.21 \text{ s}$ ), и  $\tau = 40$  ( $\sim 0.24 \text{ s}$ ). Результаты расчетов указывают на то, что быстрее релаксируют области, удаленные от положений узлов квазипериодической структуры, т.е. вблизи точек  $x = \pm 2.175$  и  $\pm 5.83$ . Безразмерное время релаксации  $\tau_R(\text{off})$  поля директора к планарно ориентированному распределению по всему объему ЖК-канала равно 400, или  $\sim 2.4 \text{ s}$ . Эволюция распределения безразмерной угловой скорости  $\omega(x, z = 0, \tau)$  к ее равновесному распределению



**Рис. 6.** Эволюция распределения угла  $\theta(x, z = 0, \tau)$  (кривые 1) и угловой скорости  $\omega(x, z = 0, \tau)$  (кривые 2) вдоль оси  $x \in [-10, 10]$  к их равновесным распределениям  $\theta_{eq}(x, z = 0, \tau = \tau_R(\text{off}))$  и  $\omega_{eq}(x, z = 0, \tau = \tau_R(\text{off}))$  соответственно, с момента отключения электрического поля  $\mathbf{E} = 0$ . Промежуточные состояния соответствуют временам  $\tau = 22$  ( $\sim 0.132 \text{ s}$ ),  $24$  ( $\sim 0.144 \text{ ms}$ ),  $26$  ( $\sim 0.156 \text{ s}$ ),  $30$  ( $\sim 0.18 \text{ s}$ ),  $35$  ( $\sim 0.21 \text{ s}$ ) и  $40$  ( $\sim 0.24 \text{ s}$ ) соответственно.

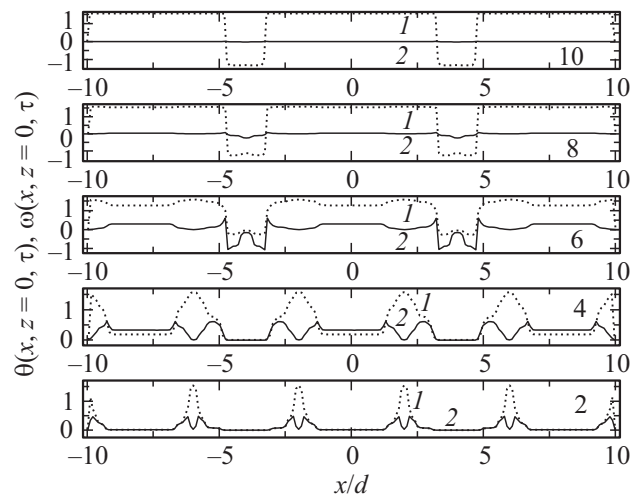
$\omega_{eq}(x, z = 0, \tau = \tau_R(\text{off})) = 0$ , вдоль оси  $x \in [-10, 10]$ , в течение следующих 20 единиц времени после выключения электрического поля показана на рис. 6 (кривые 2). Представлены состояния, соответствующие тем же безразмерным временам, что и для угла  $\theta(x, z = 0, \tau = \tau_R(\text{off}))$ . Следует отметить, что в течение первых 6 единиц безразмерного времени после выключения электрического поля абсолютная величина угловой скорости  $|\omega(x, z, \tau)|$  достигает незначительного максимального значения вблизи узлов квазипериодической структуры в точках  $x = \pm 2.175$  и  $\pm 5.83$ , а затем, в течение следующих 14 единиц безразмерного времени, быстро релаксирует к нулю. При этом абсолютная величина угловой скорости  $\omega(\text{off})$  примерно на 6 порядков меньше абсолютной величины  $\omega(\text{in})$ .

Наконец, рассмотрим третий случай, когда сильное электрическое поле  $\mathbf{E} = -E\hat{\mathbf{k}}$  ( $E \sim 1.05 \text{ V}/\mu\text{m}$ ) включено в момент времени  $\tau = 248$  (случай A) или 250 (случай B) (в отрицательном смысле), под углом  $\alpha (\sim -\frac{\pi}{2})$  к горизонтальным ограничивающим поверхностям ЖК-канала. Следует отметить, что в обоих случаях A и B отсчет времени начался с момента включения электрического поля  $\mathbf{E} = E\hat{\mathbf{k}}$ . Этот процесс переориентации поля директора из положения  $\hat{\mathbf{n}}^{\text{off}}$  в направлении вектора  $\mathbf{E}$  описывается углом  $\theta(x, z, \tau)$ . Здесь  $\hat{\mathbf{n}}^{\text{off}}$  — ориентация поля директора спустя время  $\tau(\text{off})$ , т.е. ориентация, соответствующая планарно и однородно ориентированному нематическому образцу. Как и в случае  $\mathbf{E} = E\hat{\mathbf{k}}$ , процесс переориентации  $\hat{\mathbf{n}}$  описывается системой нелинейных дифференциальных уравнений в частных производных (1)–(3), (9) и (10), дополненной граничными (4), (5) и начальными (6) и (8) условиями, как для угла  $\theta$ , так и для функции тока  $\psi$ , при том, что значения волновых чисел  $q_x$  и  $q_z$  определяются из условия минимума полной энергии  $W = W_{\text{elast}} + W_{\text{el}}$ . Выбор двух времен,  $\tau = 248$  (случай A) или 250 (случай B), включения электрического поля  $\mathbf{E} = -E\hat{\mathbf{k}}$  влияет на величину порогового значения амплитуды угла  $\theta_0^{\text{th}}$  и, тем самым, на характер переориентации поля директора под действием сильного электрического поля. Так, в случае A ( $\tau = 248$ ) электрическое поле  $\mathbf{E}$  было выключено в течение  $\tau(\text{off}) = 248 - 20 = 228$  единиц безразмерного времени. Таким образом, в случае A начальное условие для угла  $\theta$  принимает вид

$$\theta(x, z, 0) = \theta^{\text{off}}(x, z), \quad (13)$$

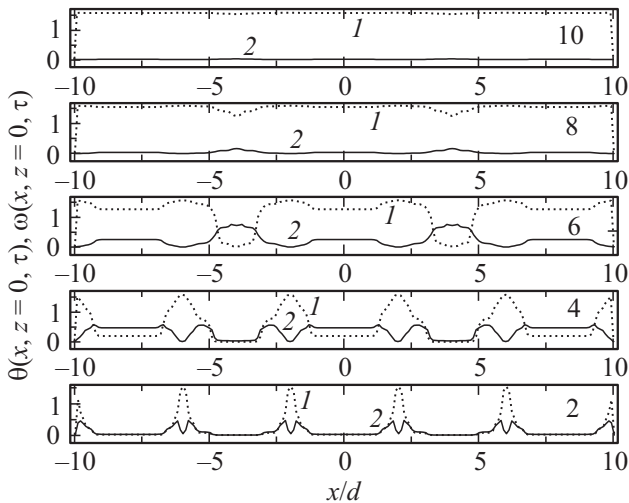
а значение угла  $\alpha = -1.57$ .

На рис. 7 (кривые 1, точечные линии) представлены результаты расчета эволюции угла  $\theta(x, z = 0, \tau)$  к его равновесному распределению  $\theta_{eq}(x, z = 0)$  вдоль оси  $x \in [-10, 10]$ , которое достигается спустя  $\tau_R(\text{in}) = 10$  ( $\sim 60 \text{ ms}$ ) единиц безразмерного времени после повторного включения электрического поля  $\mathbf{E} = -E\hat{\mathbf{k}}$  ( $E \sim 1.05 \text{ V}/\mu\text{m}$ ). Эти расчеты были получены для случая жесткого сцепления ЖК-молекул с ограничивающими поверхностями, при значении угла  $\alpha = -1.57$



**Рис. 7.** Эволюция распределения угла  $\theta(x, z = 0, \tau)$  (кривые 1) и угловой скорости  $\omega(x, z = 0, \tau)$  (кривые 2) вдоль оси  $x \in [-10, 10]$  к их равновесным распределениям  $\theta_{eq}(x, z = 0, \tau = \tau_R(\text{in}) = 10)$  и  $\omega_{eq}(x, z = 0, \tau = \tau_R(\text{in}) = 10)$  соответственно (случай A), под действием сильного электрического поля  $\mathbf{E} = -E\hat{\mathbf{k}}$  ( $E \sim 1.05 \text{ V}/\mu\text{m}$ ), направленного под углом  $\alpha = -1.57$  ( $\sim -89.96^\circ$ ) к горизонтальным ограничивающим поверхностям ЖК-канала. Промежуточные состояния соответствуют временам  $\tau = 2$  ( $\sim 12 \text{ ms}$ ), 4 ( $\sim 24 \text{ ms}$ ), 6 ( $\sim 36 \text{ ms}$ ), 8 ( $\sim 48 \text{ ms}$ ) и 10 ( $\sim 60 \text{ ms}$ ) после повторного включения электрического поля.

( $\sim -89.96^\circ$ ). Промежуточные состояния соответствуют временам  $\tau = 2$  ( $\sim 12 \text{ ms}$ ), 4 ( $\sim 24 \text{ ms}$ ), 6 ( $\sim 36 \text{ ms}$ ), 8 ( $\sim 48 \text{ ms}$ ) и 10 ( $\sim 60 \text{ ms}$ ) соответственно. Здесь безразмерное время  $\tau = \frac{\epsilon_0 \epsilon_a}{\gamma_1} \left(\frac{U}{2d}\right)^2 t$  отсчитывалось с момента повторного включения электрического поля. В этом случае равновесное распределение угла  $\theta_{eq}(x, z = 0)$  вдоль оси  $x \in [-10, 10]$  характеризуется отчетливо выраженной квазипериодической структурой с узлами в точках  $x = \pm 3.26$  и  $\pm 4.72$ . Эволюция распределения безразмерной угловой скорости  $\omega(x, z = 0, \tau)$  к ее равновесному распределению  $\omega_{eq}(x, z = 0, \tau = \tau_R(\text{in})) = 0$ , вдоль оси  $x \in [-10, 10]$ , представлена на рис. 7 (кривые 2, сплошные линии). Промежуточные состояния соответствуют безразмерным временам  $\tau = 2$  ( $\sim 12 \text{ ms}$ ),  $\tau = 4$  ( $\sim 24 \text{ ms}$ ),  $\tau = 6$  ( $\sim 36 \text{ ms}$ ),  $\tau = 8$  ( $\sim 48 \text{ ms}$ ) и  $\tau = \tau_R(\text{in}) = 10$  ( $\sim 60 \text{ ms}$ ) соответственно. При этом отчетливо видно, как спустя 6 единиц безразмерного времени начинает формироваться в ЖК-канале несколько вихрей, причем положения узлов решетки задают границы формируемых вихрей. Так, согласно нашим расчетам, представленным на рис. 7 (кривые 2), отчетливо наблюдаются три вихря ( $-10 < x < -4.72$ ,  $-3.26 < x < 3.26$  и  $4.72 < x < 10$ ), вращающихся по часовой стрелке, и два вихря ( $-4.72 < x < -3.26$  и  $3.26 < x < 4.72$ ), вращающихся против часовой стрелки. Спустя время  $\tau_R(\text{in}) = 10$  ( $\sim 60 \text{ ms}$ ) вращение вихрей практически полностью прекратилось и установилось равновесное распределение поля директора вдоль оси



**Рис. 8.** То же, что на рис. 7, только для случая *B*.

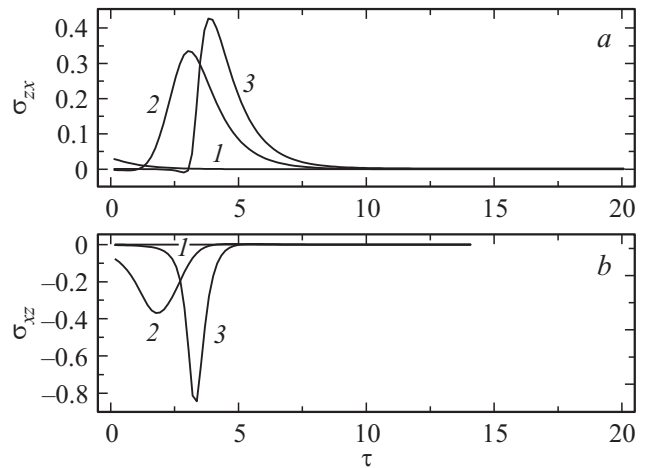
$x \in [-10, 10]$ , характеризующееся отчетливо выраженной квазипериодической структурой с узлами в точках  $x = \pm 3.26$  и  $\pm 4.72$ .

Иначе происходит процесс переориентации поля директора в случае *B*, когда директор переориентируется из положения  $\hat{n}^{\text{off}}$  в направлении вектора  $\mathbf{E}$ , описываемого углом  $\theta(x, z, \tau)$ , под действием сильного электрического поля  $\mathbf{E} = -E\mathbf{k}$  ( $E \sim 1.05 \text{ V}/\mu\text{m}$ ), включенного в момент времени  $\tau = 250$ , под углом  $\alpha (\sim -\frac{\pi}{2})$  к горизонтальным ограничивающим поверхностям ЖК-канала. В этом случае электрическое поле  $\mathbf{E}$  было выключено в течение  $\tau(\text{off}) = 250 - 20 = 230$  единиц безразмерного времени и начальное условие для угла  $\theta$  определялось другой функцией  $\theta^{\text{off}}(x, z)$ , которой соответствовала меньшая величина амплитуды  $\theta_0^{\text{off}}$  (см. уравнение (6)).

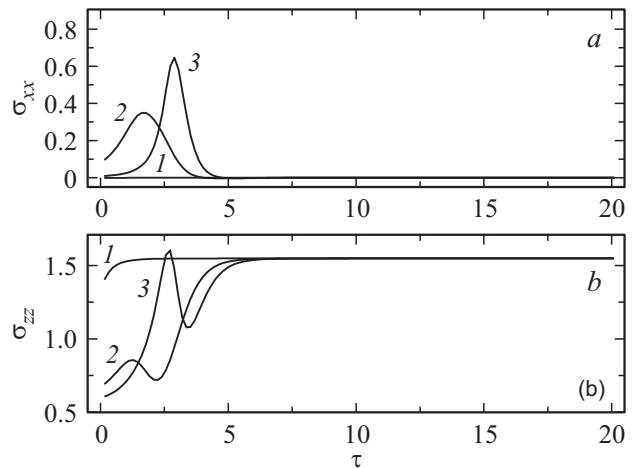
На рис. 8 (кривые 1, точечные линии, и 2, сплошные линии) представлены результаты расчета эволюции угла  $\theta(x, z = 0, \tau)$  и безразмерной угловой скорости  $\omega(x, z = 0, \tau)$  к их равновесным распределениям  $\theta_{eq}(x, z = 0)$  и  $\omega_{eq}(x, z = 0)$  вдоль оси  $x \in [-10, 10]$  соответственно. Эти расчеты были получены для случая жесткого сцепления ЖК-молекул с ограничивающими поверхностями, при значении угла  $\alpha = -1.57 (\sim -89.96^\circ)$ . Промежуточные состояния соответствуют временам  $\tau = 2 (\sim 12 \text{ ms})$ ,  $4 (\sim 24 \text{ ms})$ ,  $6 (\sim 36 \text{ ms})$ ,  $8 (\sim 48 \text{ ms})$  и  $10 (\sim 60 \text{ ms})$  соответственно. Следует отметить, что в обоих выше описанных случаях *A* и *B*, в течение первых 4 единиц безразмерного времени после повторного включения электрического поля, эволюция как угла  $\theta(x, z = 0, \tau)$ , так и безразмерной угловой скорости  $\omega(x, z = 0, \tau)$  в точности повторяют друг друга. Различия в поведении как угла  $\theta$ , так и угловой скорости  $\omega$  начинаются с момента времени  $\tau = 6$ . Так, в случае *B* весь объем, занимаемый ЖК-фазой, вращается как единое целое, правда с различной угловой скоростью. Те домены, которые в случае *A* вращались против часовой стрелки, в случае *B* стали вращаться

по часовой стрелке, правда с более высокой скоростью. К моменту времени  $\tau_R(\text{in}) = 10$  вращение ЖК-фазы, в обоих случаях *A* и *B*, полностью прекратилось, при том, что в случае *B* директор уже был равномерно ориентирован вдоль направления электрического поля  $\mathbf{E}$  по всему объему, занимаемому ЖК-фазой.

Эволюция безразмерных сдвиговых компонент ТН  $\sigma_{zx}(x, z = 0, \tau)$  и  $\sigma_{xz}(x, z = 0, \tau)$  (см. рис. 9, *a* и *b*) и нормальной компоненты  $\sigma_{xx}(x, z = 0, \tau)$  (см. рис. 10, *a*), к их равновесным значениям в трех точках, отстоящих на расстояниях  $x = 2.0$  (кривая 1),  $3.0$  (кривая 2) и  $3.2$  (кривая 3) от центра ЖК-канала, в течение первых 20 единиц безразмерного времени с момента повторного включения электрического поля



**Рис. 9.** Эволюция сдвиговых компонент ТН  $\sigma_{zx}(x, z = 0, \tau)$  (*a*) и  $\sigma_{xz}(x, z = 0, \tau)$  (*b*), в точках ( $x = 2.0$ ) (кривые 1), ( $x = 3.0$ ) (кривые 2) и ( $x = 3.2$ ) (кривые 3) соответственно, к их равновесным распределениям  $\sigma_{zx}^{eq}$  и  $\sigma_{xz}^{eq}$ , под действием сильного электрического поля  $\mathbf{E} = -E\mathbf{k}$  ( $E \sim 1.05 \text{ V}/\mu\text{m}$ ), направленного под углом  $\alpha = -1.57 (\sim -89.96^\circ)$  к горизонтальным ограничивающим поверхностям ЖК-канала.



**Рис. 10.** То же, что на рис. 9, только для нормальных компонент ТН  $\sigma_{xx}(x, z = 0, \tau)$  (*a*) и  $\sigma_{zz}(x, z = 0, \tau)$  (*b*).

$\mathbf{E} = -E\hat{\mathbf{k}}$  ( $E \sim 1.05 \text{ V}/\mu\text{m}$ ) (случай *B*) показаны на рис. 9 и 10. Расчеты свидетельствуют о том, что абсолютные величины двух сдвиговых компонент ТН  $|\sigma_{xz}|$  и  $|\sigma_{zx}|$ , а также нормальной компоненты  $|\sigma_{xx}|$ , на начальном этапе эволюции, соответствующем временам  $\tau \sim 3 \div 4$  ( $\sim 18 \div 24 \text{ ms}$ ), достигают максимальных значений  $\sim 0.3 \div 0.8$  ( $\sim 6.6 \div 17.6 \text{ Pa}$ ), а затем быстро убывают к нулю. В свою очередь, безразмерная нормальная компонента ТН  $\sigma_{zz}(x, z = 0, \tau)$  (рис. 10, *b*) на начальном этапе эволюции, соответствующем временам  $\tau \sim 3 \div 4$  ( $\sim 18 \div 24 \text{ ms}$ ), осциллирует около значения  $\sim 1.0$  ( $\sim 20 \text{ Pa}$ ), а затем монотонно возрастает и на конечном этапе эволюции давление растяжения  $\sigma_{zz}$ , обусловленное сильным электрическим полем  $\mathbf{E} = -E\hat{\mathbf{k}}$  ( $E \sim 1.05 \text{ V}/\mu\text{m}$ ), достигает величины  $\sim 1.5$  ( $\sim 33 \text{ Pa}$ ), сравнимым с величиной компоненты ТН  $\sigma_{zz}$  для случая поля  $\mathbf{E} = E\hat{\mathbf{k}}$ , направленного в противоположном направлении.

#### 4. Заключение

В предлагаемой работе представлено численное исследование переориентации как поля директора  $\hat{\mathbf{n}}$  и поля скорости  $\mathbf{v}$ , так и компонент тензора напряжения  $\sigma_{ij}$  ( $ij = x, y, z$ ) нематического жидкого кристалла (ЖК), инкапсулированного в прямоугольный канал, под действием сильного электрического поля  $\mathbf{E} = E\hat{\mathbf{k}}$ , направленного под углом относительно нормали  $\hat{\mathbf{k}}$ , направленной к планарно ориентированному ЖК-каналу. Численные расчеты, выполненные в рамках нелинейного обобщения классической теории Эриксона–Лесли, показали, что при определенных соотношениях моментов и импульсов, действующих на единицу объема ЖК-фазы, и в случае  $E \sim 1.05 \text{ V}/\mu\text{m}$  в процессе переориентации  $\hat{\mathbf{n}}$  могут возникнуть переходные периодические структуры, если соответствующая мода искажения обладает наибо́льшим откликом и, таким образом, подавляет все остальные моды, в том числе и однородные. Возникающие при этом вращающиеся домены способствовали уменьшению скорости диссипации энергии и, тем самым, создавали более выгодные, по сравнению с однородным поворотом, режимы переориентации поля директора. При этом были исследованы три динамических режима переориентации поля директора в нематике, образованном молекулами 4-*n*-пентил-4'-цианобифенила (5ЦБ), под действием сильного электрического поля  $\mathbf{E} = E\hat{\mathbf{k}}$ . Первый режим соответствовал включению  $\mathbf{E}$ , направленному в положительном направлении, перпендикулярно однородно ориентированному нематике, второй соответствовал режиму с выключенным полем,  $\mathbf{E} = 0$ , и наконец, третий режим соответствовал повторному включению  $\mathbf{E}$ , но направленному в отрицательном направлении относительно нормали к планарно ориентированному ЖК-каналу.

Мы полагаем, что данная работа проливает свет на неизученные аспекты динамики переориентации поля директора в микроскопических ЖК-каналах под действием сильного электрического поля.

#### Приложение. Моменты и компоненты тензора напряжений

Мы рассмотрим нематический ЖК, где поле директора задано вектором  $\hat{\mathbf{n}} = (n_x, 0, n_z) = (\cos \theta, 0, \sin \theta)$ , а баланс вращательных моментов, действующих на единицу объема ЖК-фазы, состоит из [7,10]  $\mathbf{T}_{\text{elast}} = T_{\text{elast}}\hat{\mathbf{j}} = \frac{\delta \mathcal{W}_F}{\delta \hat{\mathbf{n}}} \times \hat{\mathbf{n}}$  — упругого,  $\mathbf{T}_{\text{vis}} = T_{\text{vis}}\hat{\mathbf{j}} = \frac{\delta \mathcal{R}^{\text{vis}}}{\delta \hat{\mathbf{n}}_t} \times \hat{\mathbf{n}}$  — вязкого и  $\mathbf{T}_{\text{el}} = T_{\text{el}}\hat{\mathbf{j}} = \frac{\delta \psi_{\text{el}}}{\delta \hat{\mathbf{n}}} \times \hat{\mathbf{n}}$  — электрического вкладов. Здесь  $\mathcal{W}_F = \frac{1}{2} [K_1 (\nabla \cdot \hat{\mathbf{n}})^2 + K_3 (\hat{\mathbf{n}} \times \nabla \times \hat{\mathbf{n}})^2]$  — плотность упругой энергии, приходящейся на единицу объема ЖК-фазы,  $\psi_{\text{el}} = -\frac{1}{2} \epsilon_0 \epsilon_a (\hat{\mathbf{n}} \cdot \mathbf{E})^2$  — плотность электрической энергии,

$$\begin{aligned}
 \mathcal{R}^{\text{vis}} = & \alpha_1 (\hat{\mathbf{n}} \cdot \mathbf{D}_s \cdot \hat{\mathbf{n}})^2 + \gamma_1 (\hat{\mathbf{n}}_t - \mathbf{D}_a \cdot \hat{\mathbf{n}})^2 \\
 & + 2\gamma_2 (\hat{\mathbf{n}}_t - \mathbf{D}_a \cdot \hat{\mathbf{n}}) \cdot (\mathbf{D}_s \cdot \hat{\mathbf{n}} - (\hat{\mathbf{n}} \cdot \mathbf{D}_s \cdot \hat{\mathbf{n}}) \hat{\mathbf{n}}) \\
 & + \alpha_4 \mathbf{D}_s : \mathbf{D}_s + (\alpha_5 + \alpha_6) (\hat{\mathbf{n}} \cdot \mathbf{D}_s \cdot \mathbf{D}_s \cdot \hat{\mathbf{n}})
 \end{aligned}$$

— вязкий вклад в полную функцию Рэлея  $\mathcal{R} = \mathcal{R}^{\text{vis}}$ . Здесь  $K_1$  и  $K_3$  — коэффициенты упругости Франка, соответствующие поперечному и продольному изгибам,  $\mathbf{D}_s = \frac{1}{2} [\nabla \mathbf{v} + (\nabla \mathbf{v})^T]$  и  $\mathbf{D}_a = \frac{1}{2} [\nabla \mathbf{v} - (\nabla \mathbf{v})^T]$  — симметричный и антисимметричный вклады в тензор  $\nabla \mathbf{v}$ ,  $\hat{\mathbf{n}}_t = \frac{d\hat{\mathbf{n}}}{dt}$  — материальная производная,  $\alpha_i$  ( $i = 1, \dots, 6$ ) — коэффициенты вязкости Лесли, а  $\gamma_1 = \alpha_3 - \alpha_2$ ,  $\gamma_2 = \alpha_3 + \alpha_2$  — коэффициенты вращательной вязкости.

Безразмерный тензор напряжений (ТН) представляет собой сумму, состоящую из упругих ( $\sigma^{\text{elast}}$ ), вязких ( $\sigma^{\text{vis}}$ ) и электрических ( $\sigma^{\text{el}}$ ) вкладов за вычетом  $P\mathcal{L}$ . Компоненты упругого ТН имеют вид

$$\begin{aligned}
 \sigma_{xx}^{\text{elast}} &= \delta_1 (-\Delta_1 \theta_{,x}^2 + \Delta_3 \theta_{,x} \theta_{,z}), \\
 \sigma_{zz}^{\text{elast}} &= \delta_1 (-\Delta_2 \theta_{,z}^2 + \Delta_3 \theta_{,x} \theta_{,z}), \\
 \sigma_{xz}^{\text{elast}} &= \delta_1 (-\Delta_1 \theta_{,x} \theta_{,z} + \Delta_3 \theta_{,z}^2), \\
 \sigma_{zx}^{\text{elast}} &= \delta_1 (\Delta_2 \theta_{,x} \theta_{,z} + \Delta_3 \theta_{,x}^2),
 \end{aligned}$$

где

$$\begin{aligned}
 \Delta_1 &= \sin^2 \theta + K_{31} \cos^2 \theta, \quad \Delta_2 = \cos^2 \theta + K_{31} \sin^2 \theta, \\
 \Delta_3 &= \frac{1 - K_{31}}{2} \sin 2\theta, \quad K_{31} = K_3/K_1.
 \end{aligned}$$

Безразмерные компоненты вязкого ТН имеют вид:

$$\sigma_{ij}^{\text{vis}} = f_{ij}^{1,\text{vis}} \psi_{,xx} + f_{ij}^{2,\text{vis}} \psi_{,zz} + f_{ij}^{3,\text{vis}} \psi_{,xz} + f_{ij}^{4,\text{vis}} \psi_{,zx},$$

где

$$f_{xx}^{1,\text{vis}} = -\frac{\sin 2\theta}{4} \left( \frac{2\alpha_1}{\gamma_1} + \gamma^2 \cos 2\theta \right),$$

$$f_{xx}^{2,\text{vis}} = -f_{xx}^{1,\text{vis}},$$

$$f_{xx}^{3,\text{vis}} = \frac{1}{\gamma_1} [\alpha_1 \cos 2\theta \cos^2 \theta + (\alpha_5 + \alpha_6) \cos^2 \theta + \alpha_4] - \frac{\gamma^2}{4} \sin^2 \theta,$$

$$f_{xx}^{4,\text{vis}} = -\frac{\gamma}{2} \left[ \sin 2\theta (\Delta_1 \theta_{,xx} + \Delta_2 \theta_{,zz}) + \Delta_5 (\theta_{,x}^2 + 2\theta_{,xz} - \theta_{,z}^2 - 2\theta_{,x} \theta_{,z}) \right],$$

$$f_{zz}^{1,\text{vis}} = -\frac{\sin 2\theta}{4} \left( 2\frac{\alpha_1}{\gamma_1} \cos^2 \theta - \gamma^2 \cos 2\theta \right),$$

$$f_{zz}^{2,\text{vis}} = -f_{zz}^{1,\text{vis}},$$

$$f_{zz}^{3,\text{vis}} = \frac{1}{\gamma_1} [\alpha_1 \cos 2\theta \sin^2 \theta - (\alpha_5 + \alpha_6) \cos^2 \theta - \alpha_4] + \frac{\gamma^2}{4} \sin^2 \theta, \quad f_{zz}^{4,\text{vis}} = -f_{xx}^{4,\text{vis}},$$

$$f_{xz}^{1,\text{vis}} = \frac{1}{4\gamma_1} (-\alpha_1 \sin^2 2\theta + 2\gamma_2 \cos 2\theta - 2\alpha_4 - \alpha_5 - \alpha_6 - \gamma_1) + \Delta_6^2,$$

$$f_{xz}^{2,\text{vis}} = \frac{1}{4\gamma_1} (\alpha_1 \sin^2 2\theta + 2\alpha_4 + \alpha_5 + \alpha_6 - \gamma_1) + \Delta_7,$$

$$f_{xz}^{3,\text{vis}} = -\frac{\sin 4\theta}{4} \left( \frac{\alpha_1}{\gamma_1} + \gamma^2 \right),$$

$$f_{xz}^{4,\text{vis}} = -\Delta_6 (\Delta_1 \theta_{,xx} + \Delta_2 \theta_{,zz})$$

$$- \Delta_3 \Delta_6 (\theta_{,x}^2 + 2\theta_{,xz} - \theta_{,z}^2 - 2\theta_{,x} \theta_{,z}),$$

$$f_{zx}^{1,\text{vis}} = -\frac{1}{4\gamma_1} (\alpha_1 \sin^2 2\theta + 2\alpha_4 + \alpha_5 + \alpha_6 - \gamma_1) + \Delta_6^2,$$

$$f_{zx}^{2,\text{vis}} = \frac{1}{4\gamma_1} (\alpha_1 \sin^2 2\theta + 2\gamma_2 \cos 2\theta + 2\alpha_4$$

$$+ \alpha_5 + \alpha_6 + \gamma_1) - \Delta_8^2, \quad f_{zx}^{3,\text{vis}} = -f_{xz}^{3,\text{vis}},$$

$$f_{zx}^{4,\text{vis}} = \Delta_8 (\Delta_1 \theta_{,xx} + \Delta_2 \theta_{,zz})$$

$$+ \Delta_8 \Delta_3 (\theta_{,x}^2 + 2\theta_{,xz} - \theta_{,z}^2 - 2\theta_{,x} \theta_{,z}),$$

где

$$\Delta_5 = \frac{1 - K_{31}}{2} \sin^2 2\theta, \quad \Delta_6 = \frac{1}{2} (1 - \gamma \cos 2\theta),$$

$$\Delta_7 = \frac{1}{4} (1 - \gamma^2 \cos^2 2\theta), \quad \Delta_8 = \frac{1}{2} (1 + \gamma \cos 2\theta).$$

Безразмерный аналог уравнения Навье–Стокса  $\rho \frac{dv}{dt} = \nabla \cdot \sigma$  принимает вид

$$\delta_2 [(\Delta\psi)_{,r} + \psi_{,z} (\Delta\psi)_{,x} - \psi_{,x} (\Delta\psi)_{,z}] = \hat{\mathcal{L}}\psi + \mathcal{F},$$

где  $\Delta\psi = \psi_{,xx} + \psi_{,zz}$ ,  $\mathcal{F} = \mathcal{F}_{\text{elast}} + \mathcal{F}_{\text{el}}$ , а

$$\mathcal{F}_{\text{elast}} = (\sigma_{xx}^{\text{elast}} + \sigma_{zz}^{\text{elast}})_{,xz} + (\sigma_{zx}^{\text{elast}})_{,zz} - (\sigma_{xz}^{\text{elast}})_{,xx},$$

$$\mathcal{F}_{\text{el}} = -(\sigma_{zz}^{\text{el}})_{,xz},$$

и

$$\sigma_{zz}^{\text{el}} = \bar{E}^2 \sin \alpha \left( \frac{\epsilon_{\perp}}{\epsilon_a} + \sin^2 \theta \right).$$

Оператор

$$\hat{\mathcal{L}}\psi = a_1 \psi_{,zzzz} + a_2 \psi_{,xzzz} + a_3 \psi_{,xxzz} + a_4 \psi_{,xxxx} + a_5 \psi_{,xxxx} + a_6 \psi_{,zzzz} + a_7 \psi_{,xzzz} + a_8 \psi_{,xxzz} + a_9 \psi_{,xxxx} + a_{10} \psi_{,zz} + a_{11} \psi_{,xz} + a_{12} \psi_{,xx},$$

где

$$a_1 = f_{zx}^{2,\text{vis}}, \quad a_2 = f_{zx}^{3,\text{vis}} + f_{xx}^{2,\text{vis}} - f_{zz}^{2,\text{vis}},$$

$$a_3 = f_{zx}^{1,\text{vis}} - f_{xz}^{2,\text{vis}} + f_{xx}^{3,\text{vis}} - f_{zz}^{3,\text{vis}},$$

$$a_4 = f_{xx}^{1,\text{vis}} - f_{zz}^{1,\text{vis}} - f_{xz}^{3,\text{vis}},$$

$$a_5 = -f_{xz}^{1,\text{vis}}, \quad a_6 = f_{xx,z}^{2,\text{vis}} - f_{zz,z}^{2,\text{vis}} + 2f_{zx,z}^{2,\text{vis}},$$

$$a_7 = f_{xx,z}^{2,\text{vis}} - f_{zz,z}^{2,\text{vis}} + f_{xx,x}^{3,\text{vis}} - f_{zz,z}^{3,\text{vis}} + 2f_{zx,z}^{3,\text{vis}} - 2f_{xz,x}^{3,\text{vis}},$$

$$a_8 = f_{xx,x}^{1,\text{vis}} - f_{zz,x}^{1,\text{vis}} + f_{xx,z}^{3,\text{vis}} - f_{zz,z}^{3,\text{vis}} + 2f_{zx,z}^{1,\text{vis}} - 2f_{xz,x}^{3,\text{vis}},$$

$$a_9 = f_{xx,z}^{1,\text{vis}} - f_{zz,z}^{1,\text{vis}} - 2f_{xz,x}^{1,\text{vis}},$$

$$a_{10} = f_{xx,xz}^{2,\text{vis}} - f_{zz,xz}^{2,\text{vis}} + f_{zx,zz}^{2,\text{vis}} - f_{xz,xx}^{2,\text{vis}},$$

$$a_{11} = f_{xx,xz}^{3,\text{vis}} - f_{zz,xz}^{3,\text{vis}} + f_{zx,zz}^{3,\text{vis}} - f_{xz,xx}^{3,\text{vis}},$$

$$a_{12} = f_{xx,xz}^{1,\text{vis}} - f_{zz,xz}^{1,\text{vis}} + f_{zx,zz}^{1,\text{vis}} - f_{xz,xx}^{1,\text{vis}}.$$

## Список литературы

- [1] S. Lee, R. An, J.A. Hunt. Nature Nanotech. **5**, 412 (2010).
- [2] S. Samitsu, Y. Takanishi, J. Yamamoto. Nature Mater. **9**, 816 (2010).
- [3] H. Ren, Su Xu, S-T. Wu. Lab. Chip. **13**, 100 (2013).
- [4] R. Daugla, S. Cagri Kayi, Ch.N. Baroud. Proc. Natl. Acad. Sci. **110**, 853 (2013).
- [5] P.G. de Gennes, J. Prost. The physics of liquid crystals. Oxford Univ. Press. Oxford (1995). 400 p.
- [6] A. Sugimura, A.V. Zakharov. Phys. Rev. E **84**, 021703 (2011).
- [7] A.A. Vakulenko, A.V. Zakharov. Phys. Rev. E **88**, 022505 (2013).
- [8] J.L. Ericksen. Arch. Ration. Mech. Anal. **4**, 231 (1960).
- [9] F.M. Leslie. Arch. Ration. Mech. Anal. **28**, 265 (1968).
- [10] А.В. Захаров, А.А. Вакуленко, С.В. Пасечник. ФТТ **58**, 1851 (2016).
- [11] И.С. Березин, Н.Р. Жидков. Методы вычислений. Физматгиз, М. (1964). 464 с.